

Pseudo-Random Modulation CW Lidar and Its Application to Aerosol Monitoring

竹内延夫, 桜井捷海*, 杉本伸夫, 馬場若司*, 近藤真通*

N. Takeuchi, K. Sakurai† N. Sugimoto, H. Baba* and M. Kondo*

国立公害研究所, 東京大学教養学部基礎科*

National Institute for Environmental Studies, Univ. of Tokyo*

(はじめに) ライダ-の送信レーザー光を試験信号とみなすと、散乱体からの後方散乱(A-スコ-プ)は応答関数とみなせる。応答関数 $g(t)$ を求める方法には、インパルス応答によるもの(通常のパルスライダ-)と、擬似ランダム雑音を用いるもの(擬似ランダム変調: Pseudo-Random Modulation, 以下RMと呼ぶ)がある。ライダ-方程式は、試験信号 $X(t)$, 受信々号 $P_r(t)$, 背景光雑音電力 $b(t)$ を用いて

$$P_r(t) = \int_0^T X(t - t_c) g(t_c) dt_c + b(t) \quad (1)$$

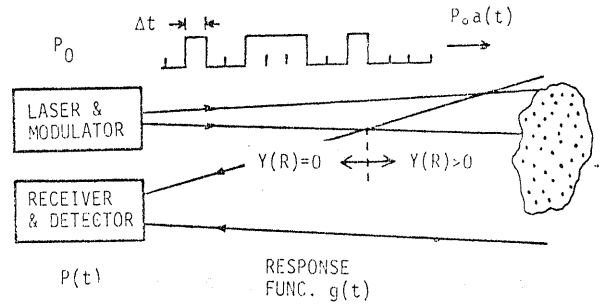


Fig.1 Principle of RM CW lidar

と書ける。ライダ-方程式は

RM変調(周期T):

$$X(t - t_c) = P_0 a(t - t_c)$$

P_0 : CW光出力, $a(t)$: 擬似ランダム・コード

$$P_r(t) = P_0 \int_0^T a(t - t_c) g(t_c) dt_c + b(t) \quad (2)$$

インパルス応答

$$X(t - t_c) = P_p \Delta t \delta(t - t_c)$$

P_p : パルス・ピーク出力, Δt : パルス幅

$$P_r(t) = P_p g(t) + b(t) \quad (2)'$$

$$g(t) = \eta \left(\frac{c \Delta t}{2} \right) A_r \beta_r(R) T^2(R) Y(R) / R^2, \quad R = ct/2 \quad (3)$$

となる。RMとして、2値M系列(binary M-sequence; 次数n, 要素数N, ゲ-ト幅 Δt , 周期 $T = N \Delta t$) を用いる。M系列は、“1”と“0”の出現回数均等性や“連”の出現率に固有の性質を持ち、 (“1”, “0”を“1”, “-1”で置きかえると) 自己相関関数は

$$\phi_{a,a}(\tau) = \frac{1}{T} \int_t^{t+T} a(t' - \tau) a(t') dt' = \begin{cases} 1 & (\tau=0) \\ -\frac{1}{N} & (\tau \neq 0) \end{cases} \quad (4)$$

となる。他の関数(例えば、背景光雑音 $b(t)$) との相関は、 $\tau \neq 0$ の自己相関関数と同様であると考える。式(4)の性質によって、

$$\frac{1}{T} \int_t^{t+T} P_r(t') a(t' - t_c) dt' = P_0 g(t_c) + \bar{b}/N \quad (5)$$

となる (\bar{b} は $b(t)$ の時間平均値)。Nが大きいとき \bar{b}/N は十分に小さく、零レベルが自動的に

求められる。RM変調による距離分解能は $(c\Delta t/2)$ となる。
 (SN比) 信号 x のSN比は $\bar{x}/\sigma(x)$ ($\bar{x} = E(x)$ は x の期待値, $\sigma^2(x) = E((x-\bar{x})^2)$ は分散)で与えられる。光検出器(量子効率 η_q)で検出された光電子数の時刻 $t+k\Delta t$ における値 $n_p(t+k\Delta t)$ ($n_p(t) = \xi Pr(t)$, $\xi = \eta_q \Delta t / h\nu$, $h\nu$ は光量子のエネルギー)を $n_p(k)$ と表現すると,

$$\begin{aligned} \sigma^2(n_p(k)) &= E((n_p(k) - \bar{n}_p)^2) \\ &= \xi(P_0 \sum_{i=0}^{N-1} g(i) + 2Nb)/L^2 \end{aligned} \quad (6)$$

($L = 2^{n-1}$ は"1"の数, $L/N \approx 1/2$)となる。($\pi, -\pi$ の位相を用いて"1", "-1"のコードをRM変調に用いると, 式(6)の L は N となる。) SNの式は

RM-CWライダ-:

$$(S/N)_{RM} = \frac{\sqrt{\xi L P_0 g(k)}}{\sqrt{(P_0/\Delta t) \int_{t_m}^{t_m+T} g(t) dt + 2Nb}} \quad (7)$$

パルスライダ-:

$$(S/N)_p = \frac{\sqrt{\xi P_p g(k)}}{\sqrt{P_p g(k) + 2b}} \quad (8)$$

で与えられる。一周期 T の間の受信々号の平均値 \bar{g} が $g(k)$ と等しく、一周期の間の送信エネルギーが等しい($L P_0 \Delta t = P_p \Delta t$)とき、 $(S/N)_{RM} / (S/N)_{pulse} \approx 1/\sqrt{2}$ となる。(位相を反転させて"1", "-1"を用いると $N P_0 \Delta t = P_p \Delta t$ のときには、 $(S/N)_{RM} / (S/N)_{pulse} \approx 1$ となる。)

(実験)²⁾ 装置のブロック図を Fig. 2 に示した。Ar⁺レーザ- (514.5 nm, 出力1 w)の連続光はEO変調器で10次のM系列によって変調され、大気中に送出される。望遠鏡(合成焦点距離, 約1.3 m, 口径15 cm, 副鏡口径3.2 cm, 絞り口径 3×10^{-3} m)は、レーザ-から5 mの位置に設置された。M系列のゲ-ト幅は200 ns ($c\Delta t/2 = 30$ m), 要素数1023, 周期, 約200 μ s であり, 測定は夜間行われた。約5分間の測定結果を Fig. 3 に示す。Eq. (7) を用いて計算した例を Fig. 4 に示す。

[まとめ] RM-CWライダ-は次の特徴を持つ:

- (1) 平均出力が $P_0/2$ のパルス動作ライダ-とほぼ同じ性能である。
- (2) CW動作であるので動作が安定である。
- (3) 放電に伴う雑音が少ない。
- (4) 応答関数 $g(t)$ は距離の自乗に反比例するので、常に近距離からの寄与が大きい(この欠点は、 $\gamma(R) > 0$ となる距離を遠方にとることによって解決される)。
- (5) ゼロレベルは自動的に補正される

以上の特徴からRM-CWライダ-は遠方の微弱信号を精度良く測定するのに適した手法である。最後に、RMについて文献をお教え頂いた清水富士夫助教授(東大工)に感謝致します。

1) 竹内他, 応用物理学会, '82春(東京) 4a G3, 2) 桜井他, 同 4a G4.

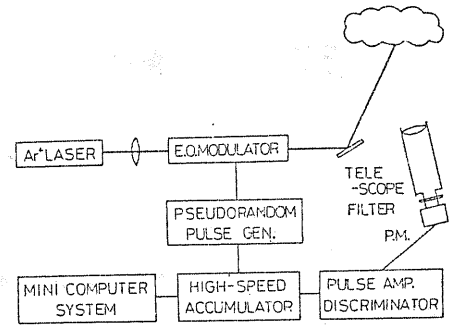


Fig. 2 Block diagram of the experimental setup

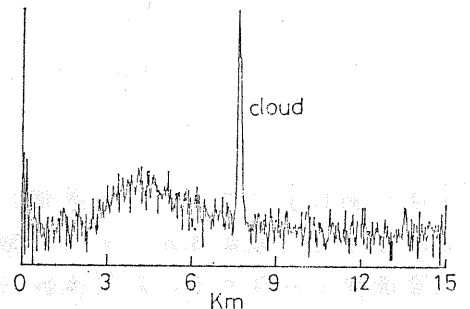


Fig. 3 An example of the measurement

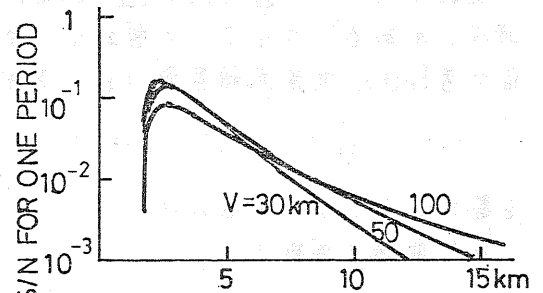


Fig. 4 S/N estimation by Eq. (6). Conditions are the same as the experiment.